

基础研究

NLRP3 炎症小体介导血管紧张素 II 诱导的人脐静脉血管内皮细胞炎症因子 IL-1 β 的表达杨仁强¹, 黄玲¹, 马晓欣², 金思一², 王丹², 李旭³南方医科大学南方医院¹急诊科,²消化科,³感染内科, 广东 广州 510515

摘要:目的 研究血管紧张素 II (Ang II) 对人脐静脉血管内皮细胞(HUVECs)NLRP3 炎症小体激活与炎症因子白介素-1 β (IL-1 β)表达的影响。方法 体外培养 HUVECs, 用 Ang II 的不同浓度和刺激时间刺激 HUVECs, 找到最适合的 Ang II 刺激浓度与时间。Ang II 刺激 HUVECs 前, 预用 Ang II 受体阻断剂氯沙坦阻断 Ang II 作用; NAD(P)H 抑制剂 DPI 或 H₂O₂ 清除剂 CAT 降低胞内活性氧(ROS)含量; 用 caspase-1 抑制剂 YVAD 阻断 caspase-1 作用; 用 NLRP3 siRNA 沉默胞内 NLRP3 表达。运用蛋白印迹法(western blot)分别检测细胞内 NOX4、NLRP3、caspase-1 以及 IL-1 β 含量。结果 (1) HUVECs 在浓度 10-9M Ang II 刺激 12 h 后, 胞内 NOX4、NLRP3、caspase-1 以及 IL-1 β 的蛋白表达显著增加; (2) 氯沙坦、DPI、CAT、YVAD 和 NLRP3 siRNA 都可减轻 Ang II 诱导的上述反应。结论 Ang II 通过促进 HUVECs 活性氧生成, 激活 NLRP3 炎症小体, 促进胞内炎症介质 IL-1 β P17 活性片段生成增加, 诱导血管炎症的发生。

关键词: 血管紧张素 II; 脐静脉内皮细胞; 活性氧; NLRP3 炎症小体; 白介素-1 β

NLRP3 inflammasome mediates angiotension II-induced expression of inflammatory factor interleukin-1 β in human umbilical vein endothelial cellsYANG Renqiang¹, HUANG Ling¹, MA Xiaoxin², JIN Siyi², WANG Dan², LI Xu³¹Department of Emergency Medicine, ²Department of Gastroenterology, ³Department of Infectious Diseases, Nanfang Hospital, Southern Medical University, Guangzhou, 510515, China

Abstract: Objective To investigate the effect of angiotension II (AngII) on the activation of NLRP3 inflammasome and the expression of interleukin-1 β (IL-1 β) in human umbilical vein endothelial cells (HUVECs). **Methods** HUVECs cultured *in vitro* were treated with different concentrations of AngII for varying lengths of time to determine the optimal concentration and time for AngII exposure. To test the impact of different agents on the effect of AngII exposure, HUVECs were pretreated with AngII receptor blocker losartan, NAD(P)H inhibitor DPI and H₂O₂ scavenger CAT, caspase 1 inhibitor YVAD, or NLRP3 siRNA for silencing NLRP3, and the protein levels of NOX4, NLRP3, caspase-1 and IL-1 β in HUVECs were analyzed by Western blotting. **Results** AngII treatment at the optimal concentration (10⁻⁹ mol/L) for 12 h significantly increased the protein levels of NOX4, NLRP3, caspase1 and IL-1 β in HUVECs. Pretreatment with losartan, DPI, CAT, YVAD, or NLRP3 siRNA all attenuated the effects of AngII on the cells. **Conclusion** AngII can induce vascular inflammation by promoting the production of reactive oxygen species and activating NLRP3 inflammasome to increase the protein expression of IL-1 β in HUVECs.

Key words: angiotension II; human umbilical vein endothelial cells; reactive oxygen species; NLRP3 inflammasome; interleukin-1 β

血管内膜保持完整性是机体能够维持循环系统与组织器官局部内环境稳定的关键因素之一。多种因素如炎症反应、应激反应、免疫反应、心脑血管病等引起内皮损伤后, 会诱发或促进多种疾病的发生发展^[1]。血管紧张素 II (Ang II) 最初于 1985 年在牛脑中发现, 是一类

具有广泛生物学活性的内源性血管活性八肽^[2-3]。有研究发现, Ang II 可以通过与细胞膜上 AT₁ 受体结合作用于 NAD(P)H 氧化酶, 使细胞内 ROS 生成翻倍^[4], 参与一系列心血管疾病的进展, 特别是在高血压^[5]、动脉粥样硬化^[6]和心力衰竭^[7]的发生过程中, Ang II 介导的氧化应激相关性内皮功能障碍起到了关键作用^[8-9], 但其具体机制仍不清楚。近年来关注的热点 NOD 样受体热蛋白结构域相关蛋白 3 炎症小体是一种固有免疫系统的模式识别受体 (PPR), 它由 NLRP3、凋亡相关斑点样蛋白 ASC 以及半胱氨酸蛋白酶 caspase-1 共同组成, 细胞内的各

收稿日期: 2015-12-27

基金项目: 国家自然科学基金(30770974)

Supported by National Natural Science Foundation of China (30770974).

作者简介: 杨仁强, 硕士研究生, E-mail: 120165410@qq.com

通信作者: 李旭, 博士, 主任医师, 教授, E-mail: mylx99@163.com

种危险信号都可以激活NLRP3炎症小体,特别是细胞内产生的大量ROS,导致caspase1前体大量剪切成具有生物活性的caspase1 P10片段,促进下游IL-1 β 和IL-18等炎症因子的生成与成熟^[10],诱导心血管病变的发生发展。但是极少有人研究Ang II是否通过激活NLRP3炎症小体,造成血管内皮细胞炎症反应,因此实验探讨Ang II诱导心血管病变的相关机制,验证NLRP3炎症小体是否参与这一病理过程中。

1 材料和方法

1.1 实验试剂

高糖DMEM培养基、Optimem培养基、胎牛血清、PBS缓冲液以及胰蛋白酶购自Gibico。Ang II原液、氯沙坦、H₂O₂清除剂CAT、NAD(P)H抑制剂DPI、caspase-1抑制剂YVAD、甘氨酸、Tris-base、SDS、牛血清白蛋白购自Sigma。NLRP3 siRNA转染试剂盒购自中国广州锐博公司。脂质体(Lipo2000)购自Invitrogen。RIPA裂解液、Cocktail tablets蛋白酶抑制剂、PMSF购自中国Beyotime公司。BCA蛋白浓度检测试剂盒购自Thermo。SDS凝胶上样缓冲液、丙烯酰胺、硝酸纤维素膜购自Bioworld。NOX4、NLRP3抗体购自Abcam,caspase1、IL-1 β 抗体购自Proteintech。荧光二抗购自南方医院新实验楼试剂中心。

1.2 细胞培养

HUVECs购于美国ATCC中心。用含10%胎牛血清的DMEM培养细胞,放入5% CO₂、37℃的孵箱中培养。当细胞铺满培养瓶底部时,进行传代。用0.25%的胰蛋白酶消化细胞,以1传3比例进行传代,传代后第2天进行换液。

1.3 实验分组及其干预

(1)Ang II时间梯度刺激实验:分组包括对照组、1 h组、3 h组、6 h组、12 h组、24 h组,共6组。各组先用含10%胎牛血清的DMEM培养基培养细胞,然后改用不含血清的DMEM 2 mL进行培养,饥饿24 h。除对照组外,其他组在不同时间点加入10⁻⁵ mol/L Ang II原液20 μ L,充分混匀,最终细胞在Ang II浓度为10⁻⁷ mol/L的培养液中培养相应时间;(2)Ang II浓度梯度刺激实验:分组包括对照组、Ang II 10⁻⁵ mol/L组、Ang II 10⁻⁷ mol/L组、Ang II 10⁻⁹ mol/L组、Ang II 10⁻¹¹ mol/L组,共5组。各组先用含10%胎牛血清的DMEM培养细胞,然后改用不含血清的DMEM 2 mL进行培养,饥饿24 h。除对照组外,其他组分别加入相应浓度Ang II原液20 μ L,充分混匀,刺激12 h;(3)Ang II受体阻断实验:分组包括对照组、Ang II组、Ang II+氯沙坦组,共3组。各组先用含10%胎牛血清的DMEM培养细胞,然后改用不含血清的DMEM 2 mL进行培养,饥饿24 h。在Ang II+氯沙坦组分别加入20 μ L氯沙坦(10⁻³ mol/L)预处理1 h,然后

除了对照组,其他组加入10⁻⁷ mol/L Ang II原液20 μ L,充分混匀,刺激12 h;(4)活性氧阻断实验:分组包括对照组、Ang II组、Ang II+DPI组、Ang II+CAT组,共4组。各组先用含10%胎牛血清的DMEM培养细胞,然后改用不含血清的DMEM 2 mL进行培养,饥饿24 h。在Ang II+DPI组、Ang II+CAT组分别加入20 μ L DPI(10⁻⁵ mol/L),CAT(10 mmol/L)预处理1 h,然后除了对照组,其他组加入10⁻⁷ mol/L Ang II原液20 μ L,充分混匀,刺激12 h;(5)NLRP3干扰实验:分组包括Scramble siRNA组、Scramble siRNA+Ang II组、NLRP3 siRNA组、NLRP3 siRNA+Ang II组,共4组。各组先用含10%胎牛血清的DMEM培养细胞,待细胞铺满六孔板底30%~50%的时候,进行转染实验。转染6 h后,再改用含10%胎牛血清的DMEM培养细胞。待细胞铺满六孔板底90%的时候,在Scramble siRNA+Ang II组、NLRP3 siRNA+Ang II组加入10⁻⁷ mol/L Ang II原液20 μ L,充分混匀,刺激12 h;(6)caspase1阻断实验:分组包括对照组、Ang II组、Ang II+YVAD组,共3组。各组先用含10%胎牛血清的DMEM培养细胞,然后改用不含血清的DMEM 2 mL进行培养,饥饿24 h。在Ang II+YVAD组加入20 μ L YVAD(4 \times 10⁻⁵ mol/L)预处理1 h,然后除了对照组,其他组加入10⁻⁷ mol/L Ang II原液20 μ L,充分混匀,刺激12 h。

1.4 蛋白印迹法(Western blotting)检测

NOX4、NLRP3、caspase1和IL-1 β 蛋白的表达水平:以上各种实验,在刺激时间结束后收集各组细胞,除去旧的培养基,用PBS缓冲液浸洗3次,再将细胞放入-80℃过夜保存。加入RIPA裂解液裂解细胞,离心后提取上清,用BCA法检测蛋白浓度,在上清中加入凝胶上样缓冲液。用SDS-PAGE凝胶电泳分离蛋白。将电泳分离后不同相对分子质量的蛋白分子电转至硝酸纤维素膜上,用5%的牛血清白蛋白封闭液室温封闭1 h。加入一抗(1:1000),4℃孵育过夜。TBST摇床浸洗3次,每次10 min。将膜放入荧光二抗(1:10000),避光孵育1 h。TBST摇床避光浸洗3次,每次10 min。将膜压干后,放入Beckman荧光扫描仪内扫描。最后用Gel-Pro Analyzer软件对图片进行灰度分析。每组实验重复3次,以 β -actin为内参照。

1.5 统计学分析

采用SPSS 13.0统计软件分析数据。计量资料以均数 \pm 标准差表示,各组间均数比较采用单因素方差分析及LSD检验。以P<0.05为差异具有统计学意义。

2 结果

2.1 Ang II对激活HUVECs炎症小体的时间和浓度效应

不同时间、浓度Ang II刺激HUVECs后,胞内NOX4、NLRP3、caspase1和IL-1 β 蛋白表达水平检测结

果(图1~2):用浓度为 10^{-7} mol/L Ang II 刺激 HUVECs, 随着刺激时间的延长,胞内 NOX4、NLRP3 和 caspase1 P10 活性片段的蛋白表达逐渐增高,在 12 h 达到峰值且较对照组明显增高,然后表达降低;而 IL-1 β P17 活性片

段在刺激 6 h 后表达较对照组显著增高。用不同浓度的 Ang II 刺激 HUVECs 12 h, 胞内 NOX4、NLRP3、caspase1 和 IL-1 β 蛋白表达水平较对照组均有增加,而浓度为 10^{-9} mol/L Ang II 作用效果最明显。

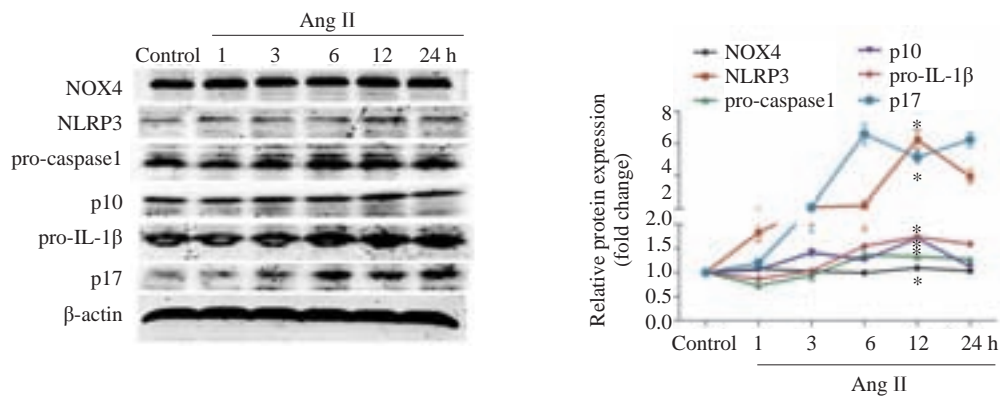


图1 浓度 10^{-7} mol/L Ang II 不同时间刺激后,各组脐静脉内皮细胞内 NOX4、NLRP3、caspase1 和 IL-1 β 蛋白表达水平的蛋白印迹法检测结果

Fig.1 Protein levels of NOX4, NLRP3, caspase1 and IL-1 β detected by Western blotting in HUVECs treated with 10^{-7} mol/L AngII for varying lengths of time. * $P < 0.05$ vs control group ($n=3$).

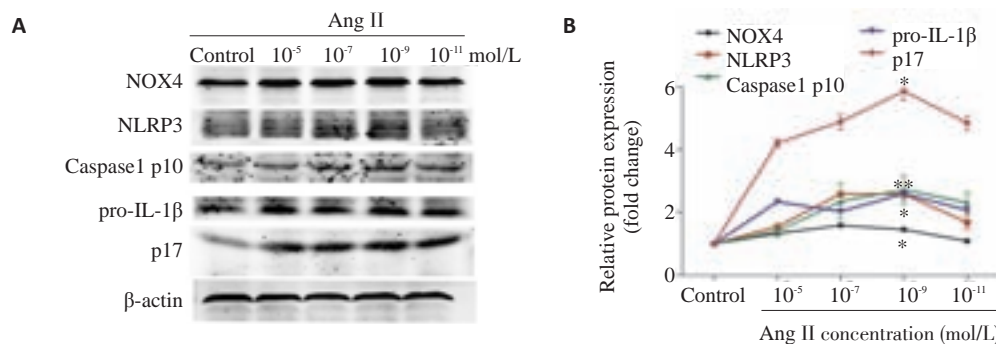


图2 各浓度梯度 Ang II 刺激 12 h 后,各组脐静脉内皮细胞内 NOX4、NLRP3、caspase1 和 IL-1 β 蛋白表达水平的蛋白印迹法检测结果

Fig.2 Protein levels of NOX4, NLRP3, caspase1 and IL-1 β detected by Western blotting in HUVECs treated with different concentrations of AngII for 12 h. * $P < 0.05$ vs control group ($n=3$).

2.2 Ang II 受体阻断剂氯沙坦可抑制 Ang II 激活 HUVECs 炎症小体

预先用氯沙坦阻断 Ang II 受体,再用 10^{-9} mol/L Ang II 刺激 HUVECs 12 h, 胞内 NOX4、NLRP3、caspase1 和 IL-1 β 蛋白表达水平检测结果(图3):Ang II + 氯沙坦组 NOX4、NLRP3、caspase1 P10 和 IL-1 β P17 蛋白表达明显低于单纯 Ang II 刺激组。

2.3 阻断胞内 ROS 生成可抑制 Ang II 激活 HUVECs 炎症小体

预先用 DPI 和 CAT 阻断 HUVECs 内 ROS 生成,再用 10^{-9} mol/L Ang II 刺激 HUVECs 12 h, 胞内 NOX4、

NLRP3、caspase1 和 IL-1 β 蛋白表达水平检测结果(图4):Ang II + DPI 组和 Ang II + CAT 组 NOX4、NLRP3、caspase1 P10 和 IL-1 β P17 蛋白表达明显低于单纯 Ang II 刺激组。

2.4 沉默 NLRP3 基因的表达可抑制 Ang II 激活 HUVECs 炎症小体

用 NLRP3 siRNA 沉默 HUVECs 内 NLRP3 基因的表达,再用 10^{-9} mol/L Ang II 刺激 HUVECs 12 h, 胞内 NOX4、NLRP3、caspase1 和 IL-1 β 蛋白表达水平检测结果(图5):NLRP3 siRNA 组和 NLRP3 siRNA + Ang II 组 NLRP3 表达水平显著低于 Scramble siRNA 组和

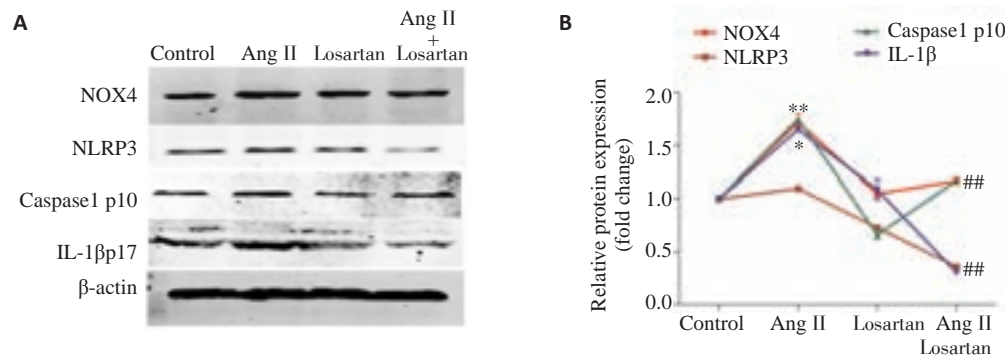


图3 用Ang II受体阻断剂氯沙坦阻断Ang II作用,各组脐静脉内皮细胞内NOX4、NLRP3、caspase1和IL-1β蛋白表达水平的蛋白印迹法检测结果

Fig.3 Protein levels of NOX4, NLRP3, caspase1 and IL-1β detected by Western blotting in HUVECs pretreated with Ang II receptor blocker losartan prior to Ang II treatment. * $P < 0.05$ vs control group; # $P < 0.05$ vs Ang II group ($n=3$).

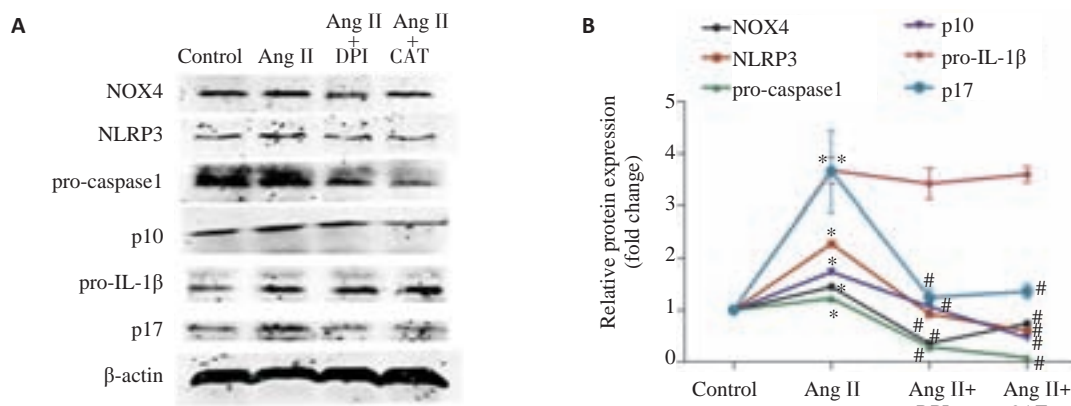


图4 用NAD(P)H抑制剂DPI和H₂O₂清除剂CAT阻断细胞内ROS生成,各组脐静脉内皮细胞内NOX4、NLRP3、caspase1和IL-1β蛋白表达水平的蛋白印迹法检测结果

Fig.4 Protein levels of NOX4, NLRP3, caspase1 and IL-1β detected by Western blotting in HUVECs pretreated with NAD(P)H inhibitor DPI and H₂O₂ scavenger CAT prior to Ang II. * $P < 0.05$ vs control group; # $P < 0.05$ vs Ang II group ($n=3$).

Scramble siRNA+Ang II组;NLRP3 siRNA+Ang II组NOX4、NLRP3、caspase1 P10和IL-1β P17蛋白表达明显低于Scramble siRNA+Ang II组。

2.5 Caspase1抑制剂YVAD可抑制Ang II激活HUVECs炎症小体

预先用YVAD抑制HUVECs内caspase1活性,再用10⁻⁹ mol/L Ang II刺激HUVECs 12 h,胞内NOX4、NLRP3、caspase1和IL-1β蛋白表达水平检测结果(图6):Ang II+YVAD组caspase1 P10和IL-1β P17蛋白表达明显低于单纯Ang II刺激组。同时Ang II+YVAD组NOX4和NLRP3蛋白表达也可在一定程度受到抑制。

3 讨论

心血管疾病的发生与高血压、高脂血症、肥胖、糖尿

病以及不良生活习惯等多种因素相关,大量研究表明,免疫炎症机制是发起和推动这种疾病的关键驱动因素,它能使心血管损伤从早期无症状阶段发展到一个临床上有明显功能障碍和心血管重构的高级阶段,主要表现为内皮功能障碍、细胞外基质的改变、动脉粥样硬化、心肌肥厚以及伴随心肌重构而产生的血管壁的脆弱等现象^[11]。因此,深入研究血管内皮炎症的发生机制具有重要的现实意义,可以为心血管疾病的预防与治疗提供理论依据。

血管内皮发生的氧化还原敏感的炎性反应过程,包括促炎因子及粘附分子的表达,脂质过氧化及细胞迁移^[12]。它在高血压和动脉粥样硬化相关的血管炎症过程中扮演着重要的作用。氧化应激与炎症反应并存可诱导内皮细胞功能的损伤,进一步加重血管损伤^[13]。

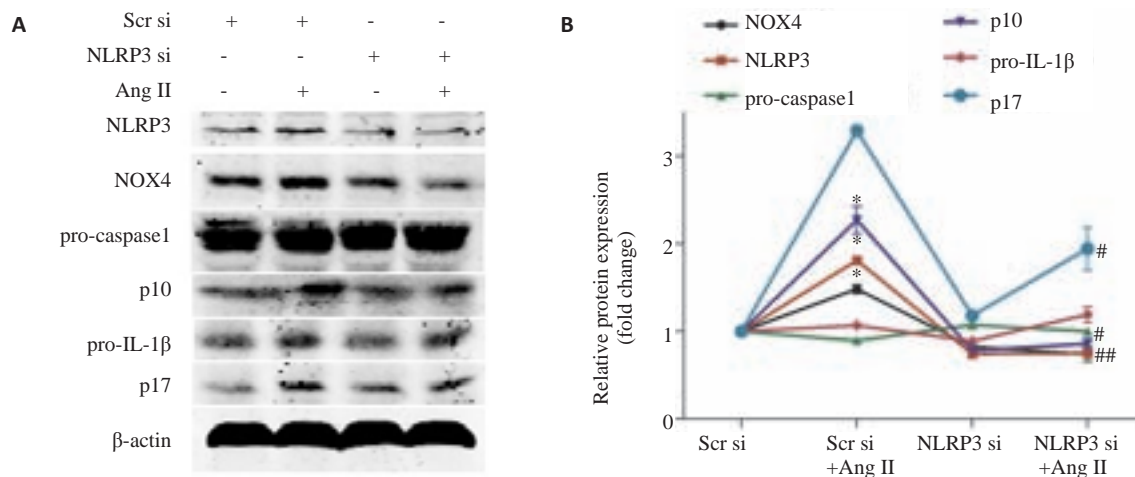


图5 用NLRP3 siRNA沉默细胞内NLRP3蛋白表达,各组脐静脉内皮细胞内NOX4、NLRP3、caspase1和IL-1 β 蛋白表达水平的蛋白印迹法检测结果

Fig.5 Protein levels of NOX4, NLRP3, caspase1 and IL-1 β detected by Western blotting in HUVECs transfected with NLRP3 siRNA prior to Ang II. * P <0.05 vs scramble siRNA group; # P <0.05 vs scramble siRNA+Ang II group (n =3).

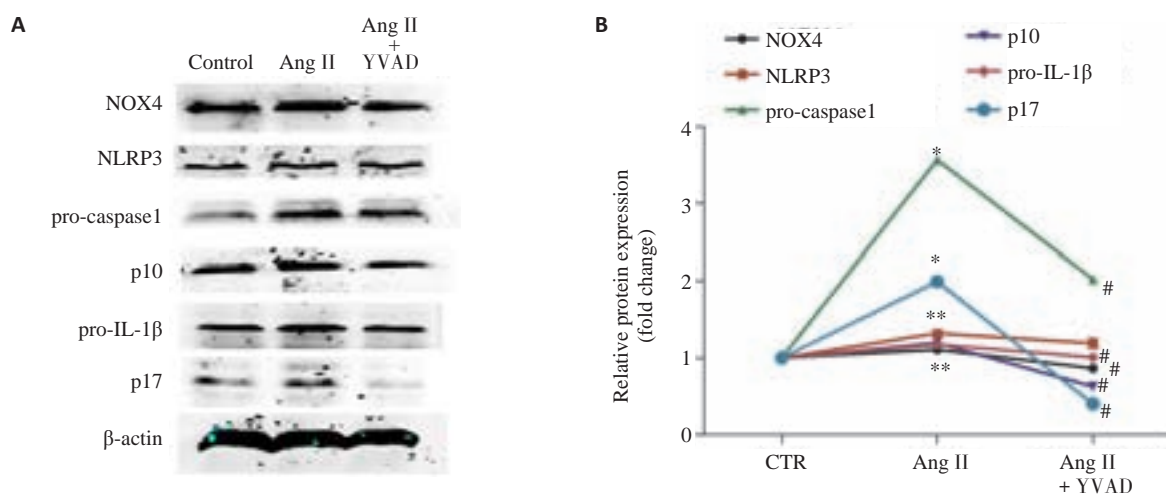


图6 用caspase1抑制剂YVAD阻断caspase1作用,各组脐静脉内皮细胞内NOX4、NLRP3、caspase1和IL-1 β 蛋白表达水平的蛋白印迹法检测结果

Fig.6 Protein levels of NOX4, NLRP3, caspase1 and IL-1 β detected by Western blotting in HUVECs pretreated with caspase1 inhibitor YVAD prior to Ang II. * P <0.05 vs control group; # P <0.05 vs Ang II group (n =3).

细胞内ROS生成增多和清除能力下降,都可以导致细胞处于氧化应激状态,其中NAD(P)H氧化酶是心血管细胞ROS的最主要来源,大量NAD(P)H氧化酶生成的ROS造成心血管功能损伤,诱发心血管相关疾病的发生发展^[14]。

Ang II是被研究的最多的NAD(P)H氧化酶激动剂。本研究观察Ang II作用于HUVECs后,细胞内NAD(P)H氧化酶表达含量的变化,选NOX4蛋白这一代表性的NAD(P)H氧化酶作为观察指标。结果显示,Ang II确实可以上调HUVECs内NOX4蛋白的表达,特别是在浓度为 10^{-9} mol/L Ang II刺激HUVECs 12 h后,NOX4蛋白表达显著增高。NOX4是细胞内ROS生成

关键酶,可以促进ROS的大量生成,导致HUVECs处于氧化应激状态,而这也是下游各种信号通路开启的关键环节,包括抗氧化通路、促炎信号通路等。

当血管内皮细胞处于氧化应激状态时可以启动细胞内的炎症反应,最终导致血管内皮功能紊乱^[15]。炎症小体是细胞内一种多蛋白复合体,主要包括有4种,分别是NLRP1、NLRP3、NLRC4和AIM2炎症小体,其中NLRP3炎症小体被研究的最深入。NLRP3炎症小体可以感受细胞内的危险信号分子,特别是细胞内大量生成的ROS,然后激活NLRP3炎症小体,最终诱导IL-1 β 、IL-18等促炎因子的生成与成熟^[16]。NLRP3炎症小体是否参与到血管内皮炎症的发生过程还不清楚,极少有

人研究 Ang II 是否可以通过促进 ROS 生成, 激活 NLRP3 炎症小体, 最终诱导血管内皮炎症的发生。本研究发现在浓度为 10^{-9} mol/L Ang II 刺激 HUVECs 12 h 后, 随着 NOX4 蛋白表达升高的同时, NLRP3 炎症小体的相应组分 NLRP3 和 caspase1 都有明显上调, 而 NLRP3 炎症小体的作用底物 IL-1 β 前体被大量剪切成具有活性的 IL-1 β P17 片段, 发挥促炎作用。而 NAD(P)H 抑制剂 DPI 和 H₂O₂ 清除剂 CAT 可以明显阻断 Ang II 的上述作用, 这些都提示了 Ang II 可以激活 HUVECs 的 NLRP3 炎症小体通路, 而这一作用是依赖胞内 ROS 的。紧接着, 我们用 NLRP3 siRNA 或者 caspase1 抑制剂 YVAD 阻断 NLRP3 炎症小体的功能, 探究 Ang II 启动的炎症反应是否依赖 NLRP3 炎症小体。我们发现, 随着 NLRP3 炎症小体功能的阻断, 下游的促炎物质 IL-1 β P10 显著减少, 起到一种保护作用。此外, 我们还发现 NLRP3 蛋白沉默以后, NOX4 蛋白的表达也出现明显下降, 这提示 NLRP3 和 NOX4 之间可能存在着一种交互作用, 而 caspase1 的抑制剂 YVAD 对 NOX4 蛋白表达影响不明显。

Ang II 作为肾素-血管紧张素系统(RAS)中最重要成分, 在病理状态下, 对各种心血管疾病的发生发展具有重要影响作用。本实验探讨了 Ang II 通过 NLRP3 炎症小体促进血管炎症的发生, 而血管炎症状态是很多心血管疾病的共有发病基础, 如果能控制住血管炎症, 心血管疾病也可以得到较好的控制。

参考文献:

- [1] Liu D, Zhang D, Scafidi J, et al. C1 inhibitor prevents Gram-negative bacterial lipopolysaccharide-induced vascular permeability[J]. *Blood*, 2005, 105(6): 2350-5.
- [2] Gavras I, Gavras H. Angiotensin II as a cardiovascular risk factor[J]. *J Hum Hypertens*, 2002, 16(Suppl 2): S2-6.
- [3] 文海若, 李波, 付研. 血管紧张素 II 在心血管疾病中的氧化应激调节机制[J]. *中国医刊*, 2014, 49(2): 12-4.
- [4] Brady NR, Hamacher-Brady A, Westerhoff HV, et al. A wave of reactive Oxygen species (ROS)-induced ROS release in a sea of excitable mitochondria[J]. *Antioxid Redox Signal*, 2006, 8(9/10): 1651-65.
- [5] Mitchell KD, Botros FT, Navar LG. Intrarenal renin-angiotensin system and counteracting protective mechanisms in angiotensin II-dependent hypertension[J]. *Acta Physiol Hung*, 2007, 94(1/2): 31-48.
- [6] Warnholtz A, Nickenig G, Schülz E, et al. Increased NADH-oxidase-mediated superoxide production in the early stages of atherosclerosis: evidence for involvement of the renin-angiotensin system[J]. *Circulation*, 1999, 99(15): 2027-33.
- [7] Sirker A, Zhang M, Murdoch C, et al. Involvement of NADPH oxidases in cardiac remodelling and heart failure[J]. *Am J Nephrol*, 2007, 27(6): 649-60.
- [8] Thomas SR, Witting PK, Drummond GR. Redox control of endothelial function and dysfunction: molecular mechanisms and therapeutic opportunities[J]. *Antioxid Redox Signal*, 2008, 10(10): 1713-65.
- [9] 冉海红, 张然. 肾素-血管紧张素系统通过氧化应激机制参与血管反应性的调节[J]. *生理科学进展*, 2011, 42(2): 117-20.
- [10] Tschopp J, Schroder K. NLRP3 inflammasome activation: The convergence of multiple signalling pathways on ROS production? [J]. *Nat Rev Immunol*, 2010, 10(3): 210-5.
- [11] 陈明, 陈志武, 龙子江. 炎症标志物对心血管疾病风险性的预测及意义[J]. *心血管病学进展*, 2013, 34(2): 290-5.
- [12] Lassègue B, Griendling KK. Reactive Oxygen species in hypertension: An update[J]. *Am J Hypertens*, 2004, 17(9): 852-60.
- [13] 叶锦霞, 梁日欣, 王岚. 氧化应激与心血管疾病的关系研究进展[J]. *中国实验方剂学杂志*, 2008, 14(10): 68-70.
- [14] Touyz RM. Reactive Oxygen species, vascular oxidative stress, and redox signaling in hypertension: what is the clinical significance? [J]. *Hypertension*, 2004, 44(3): 248-52.
- [15] Saing L, Wei Y, Tseng C. Ergothioneine represses inflammation and dysfunction in human endothelial cells exposed to oxidized low-density lipoprotein [J]. 2015 Feb 10. doi: 10.1111/1440-1681.12374. [Epub ahead of print].
- [16] Szabo G, Csak T. Inflammasomes in liver diseases[J]. *J Hepatol*, 2012, 57(3): 642-54.

(编辑: 吴锦雅)